

Ю.В. Хома

Національний університет “Львівська політехніка”,
кафедра інформаційно-вимірювальних технологій

ДОСЛІДЖЕННЯ СПЕКТРАЛЬНОГО СКЛАДУ ГАРМОНІЧНИХ СИГНАЛІВ У ЗАСОБАХ ПРЯМОГО ЦИФРОВОГО СИНТЕЗУ

©Хома Ю.В., 2013

Обґрунтовано доцільність застосування засобів прямого цифрового синтезу в частотних аналізаторах імпедансу. Наведено структуру та описано принцип роботи цифрового синтезатора гармонічних сигналів. Проаналізовано причини виникнення паразитних гармонік та їх дестабілізуючий вплив на точність аналізаторів імпедансу.

Direct Digital Synthesis devices application advisability in impedance frequency analyzer is grounded in the article. Structure and operation principle of digital synthesizer of harmonic signals are given. Parasitic harmonics origination and their destabilizing impact on the impedance frequency analyzer accuracy are analyzed.

Вступ

Засоби прямого цифрового синтезу (англ. Direct Digital Synthesis) як нова технологія формування гармонічних сигналів, вже досить широко застосовуються у багатьох сферах, зокрема у частотних аналізаторах імпедансу [1, 2, 3]. Попри таку беззаперечну перевагу цих пристройів, як можливість перелаштування частоти із дрібним кроком без розриву фаз, у спектрі синтезованих сигналів міститься низка паразитних гармонік різного походження, причому спектральний склад цих гармонік змінюється у разі перелаштування частоти [4].

Корпорація Analog Devices налагодила випуск у вигляді інтегральних мікросхем не лише DDS-синтезаторів, але також і перетворювачів імпедансу на код [5, 6]. Сформовані DDS-синтезатором гармонічні сигнали використовуються не лише для зондування досліджуваного імпедансу, але і для виділення синфазної та квадратурної компонент вимірювального сигналу за алгоритмом одночастотного перетворення Фур’є (ОПФ). Для зменшення похибок, зумовлених перетіканням спектра, у цих пристроях застосовано згладжування сигналу вікном Ханна. У роботах [7, 8] наведено вирази для оцінювання похибок виділення складових імпедансу за алгоритмом ОПФ, а також обґрунтовано доцільність застосування вікна Блекмана–Харріса. Проте на метрологічні характеристики частотного аналізатора імпедансу впливають також інші фактори, зокрема паразитні гармоніки у спектрі сигналу, сформованого DDS-синтезатором. Дослідження показали, що за природою можна виділити паразитні гармоніки від інтерполяції, від усікання коду акумулятора фази та від квантування. Наявність цих гармонік вкрай небажана для частотного аналізатора імпедансу принаймні з двох причин [9]:

- досліджуваний об’єкт зазвичай подається багатоелементною схемою заміщення, відтак реагує на полігармонічний сигнал (для прикладу, якщо вимірювальний перетворювач “імпеданс-напруга” є диференціатором, то в спектрі сигналу підсилюються високочастотні гармоніки відносно основної);
- наявність паразитних гармонік не лише у вимірювальному, але і в складі опорних ортогональних сигналів негативно впливає на точність квадратурного розділення за алгоритмом одночастотного перетворення Фур’є.

Метою роботи є оцінювання рівня паразитних гармонік від інтерполяції, усікання коду акумулятора фази і квантування, а також встановлення залежностей із параметрами DDS-синтезатора.

Аналіз гармонік, зумовлених сходинчастою інтерполяцією гармонічного сигналу

Похибка інтерполяції зумовлена тим, що на інтервалі між двома сусідніми вибірками синтезованого сигналу (тактами роботи опорного генератора частоти) його рівень залишається незмінним. Тобто дискретизований сигнал, що надходить на вхід цифро-аналогового перетворювача (ЦАП) з виходу DDS синтезатора, інтерполюється поліномом нульового порядку. Це призводить до того, що синусоїдний зондувальний сигнал на виході ЦАП буде немонотонним, а матиме сходинчастий характер. Відповідно в спектрі такого сходинчатого сигналу будуть гармоніки, частота яких вища від частоти Найквіста (половини частоти дискретизації). Похибку інтерполяції в часовій та частотній областях наведено на рис. 1.

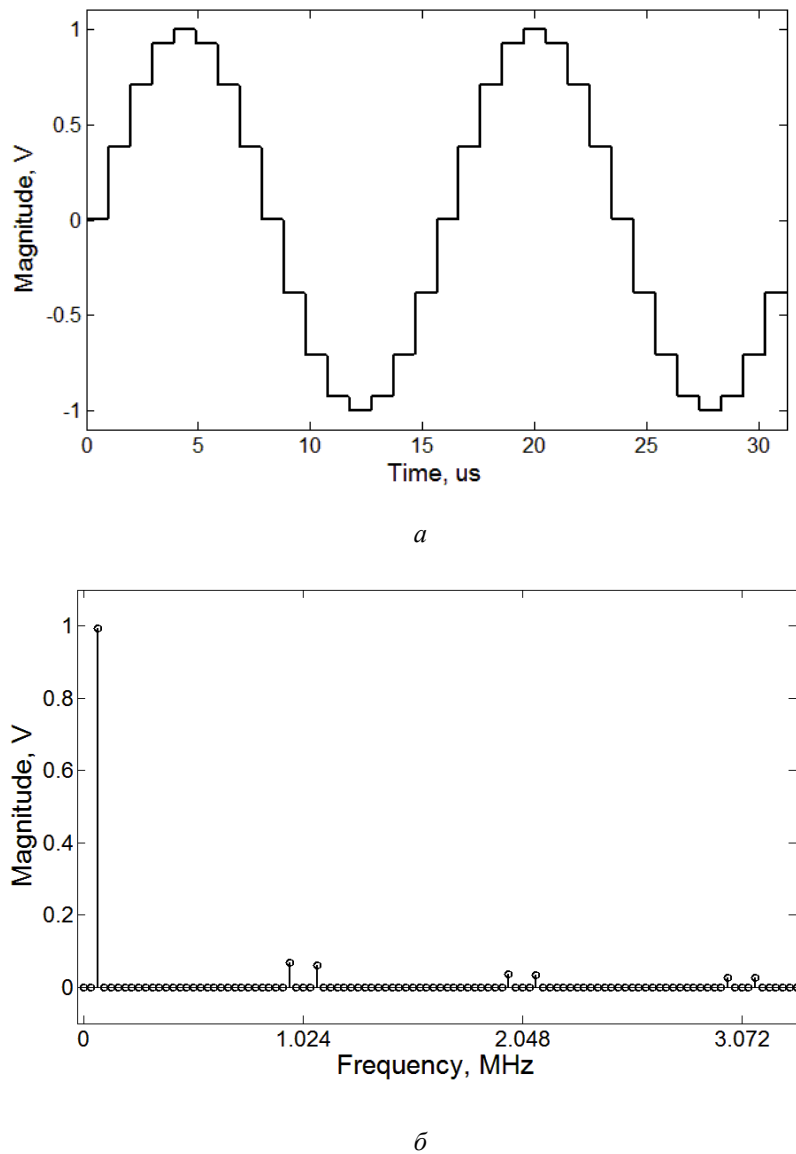


Рис. 1. Апроксимований сходинково гармонічний сигнал (а) та його спектр (б)

Частота паразитних гармонік, зумовлених похибкою інтерполяції, залежатиме як від частоти дискретизації, так і від частоти основної гармоніки. Вона визначається виразом:

$$f_{\text{ИНТРПЛ}} = k \cdot f_s / N \pm f_o, \quad (1)$$

де f_s і f_o – відповідно тактова частота і частота основної гармоніки; N – кількість вибірок на період; $k = 1, 2, 3\dots$

Інтенсивність гармонік від інтерполяції можна розрахувати за формулою:

$$U_{IHTPLL} = \left| \frac{\sin\left(2\pi \frac{f_{IHTPLL}}{f_s}\right)}{2\pi \frac{f_{IHTPLL}}{f_s}} \right| \quad (2)$$

Як випливає з наведених виразів, рівень гармонік від інтерполяції безпосередньо залежить від частоти, на якій вони розміщені. Відповідно, чим вищою є частота основної гармоніки відносно частоти дискретизації, тим інтенсивнішими будуть гармоніки від інтерполяції. Оскільки за декадної організації частотних діапазонів DDS-синтезатора частота дискретизації в межах частотної декади залишається незмінною, то найбільший вплив похибки інтерполяції очікується в кінці кожної декади.

Дослідження похибок від усікання коду фази

Оскільки розрядність акумулятора фази значно перевищує розрядність постійного запам'ятовуючого пристрою (ПЗП), то під час перетворення фази на амплітуду молодші розряди відкидаються. Таке усікання коду акумулятора фази спричиняє виникнення додаткових паразитних гармонік (див. рис. 2).

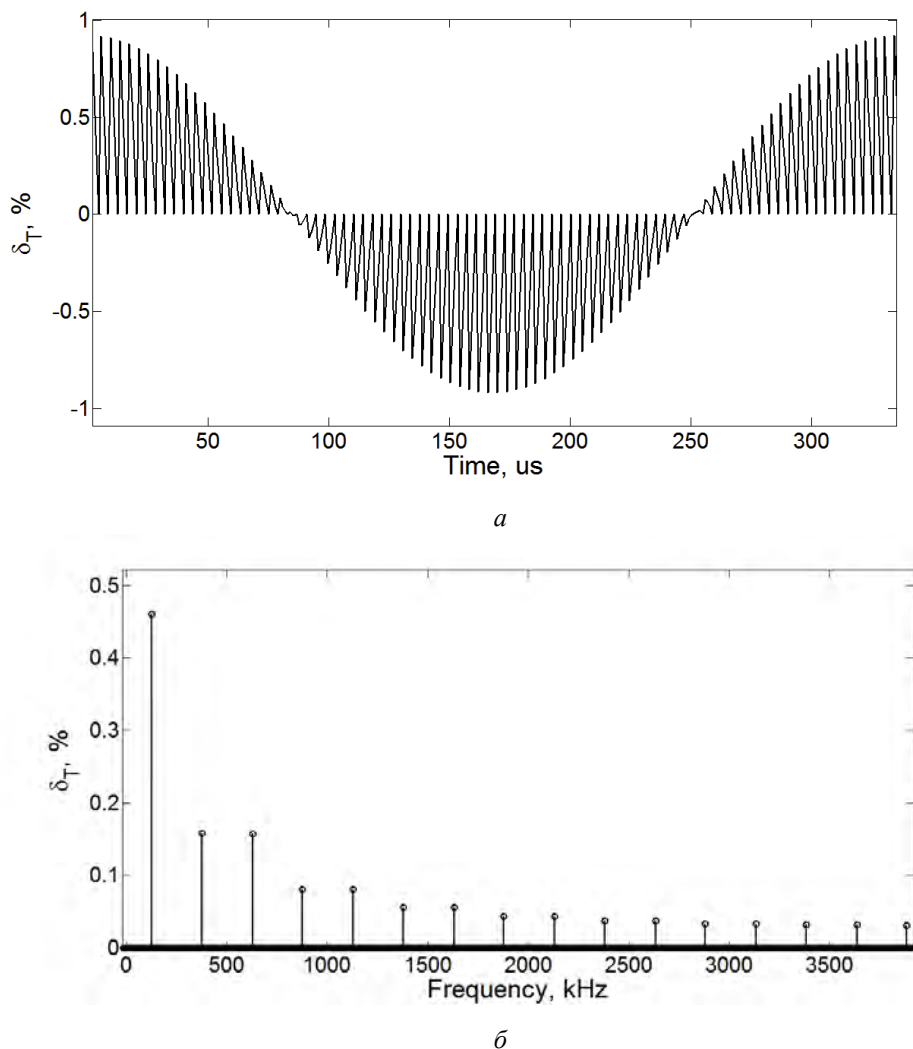


Рис. 2. Похибка від усікання коду акумулятора фази в часовій (а) та частотній областях (б)

Як видно з наведеного графіка, похибка від усікання коду фази являє собою добуток пилкоподібного і гармонічного сигналів. Пилкоподібна складова відображає часовий перебіг фазової похибки, зумовленої усіканням, а її миттєві значення дорівнюють сумі усічених бітів на кожному такті роботи синтезатора. Відповідно частота цієї складової сигналу визначатиметься частотою перенаповнення усічених бітів, тобто кількістю тактів, впродовж яких їх сума перевищить значення молодшого біта табличного перетворювача на ПЗП. Наявність гармонічної складової відображає той факт, що миттєві значення амплітудної похибки, зумовленої усіканням, залежатимуть не лише від сумарного значення усічених бітів (фазової похибки), але й від абсолютноного значення фази на кожному із тактів роботи синтезатора (в кожний конкретний момент часу). Тобто фазові спотворення по-різному впливають на амплітуду в кожній конкретній точці періоду синтезованого сигналу. Частота гармонічної складової приблизно збігається із частотою синтезованого сигналу, а фаза зсунута на 90° щодо фази основної гармоніки. Отже, похибку від усікання коду фази можна описати за допомогою такої моделі:

$$\Delta_{УСІКН} = M_{УСІКН} \cdot i \cdot \sin\left(2\pi \frac{f_o}{f_s} i + \phi_0 + 90^\circ\right), \quad (3)$$

де $M_{УСІКН}$ – значення усічених бітів; f_o і f_s – частота синтезованого сигналу та частота дискретизації відповідно; ϕ_0 – початкова фаза основної гармоніки зондувального сигналу; i – такт роботи синтезатора.

Як видно із рис. 2, спектр похибки усікання (співвідношення між рівнем гармонічних складових) загалом нагадує спектр пилкоподібного сигналу. Однак наявність гармонічної огибаючої можна розглядати як результат амплітудної модуляції, що зумовлює зміщення гармонічних складових пилкоподібного сигналу на частоту $\pm f_o$. Тобто паразитні гармоніки, зумовлені усіканням, будуть розміщені на частотах:

$$f_{УСІКН,n} = n \cdot f_{УСІКН} \pm f_o \quad n \in N \quad (n = 1, 2, 3, \dots) \quad (4)$$

де $f_{УСІКН}$ – частота пилкоподібної складової.

Величина $f_{УСІКН}$, по суті, відображає частоту перенаповнення усічених бітів, тому її значення залежатиме від відношення значення молодшого значущого біта табличного перетворювача до значення бітів, що усікаються:

$$f_{УСІКН} = \frac{2^{k-m}}{M_{УСІКН}} \cdot \frac{f_s}{N}, \quad (5)$$

де k – розрядність табличного перетворювача; m – розрядність акумулятора; N – кількість вибірок сигналу за час спостереження.

Рівеньожної пари гармонічних складових можна обчислити за виразом:

$$U_{УСІКН,n} = \frac{U_{УСІКН}}{2\pi n}, \quad (6)$$

де $U_{УСІКН}$ – розмах (подвійна амплітуда) похибки усікання; n – номер пари гармонік.

Подвійна амплітуда похибки усікання визначається, в основному, розрядністю табличного перетворювача і мало залежить від кількості усічених бітів:

$$U_{УСІКН} = \frac{U_0}{2^k}, \quad (7)$$

де U_0 – амплітуда основної гармоніки зондувального сигналу.

Оцінювання похибок квантування

Похибки квантування зумовлені тим, що вибірки дискретизованого сигналу представляються в скінченному числовому форматі. За суттю похибки квантування є наслідком заокруглення і можуть бути описані таким виразом:

$$\Delta_{KB,i} = \left| u_i / 2^n \right| - u_i, \quad (8)$$

де u_i – миттєве значення дискретизованого сигналу на i -му такті роботи синтезатора.

Хоча за природою похибка квантування детермінована, проте її аналіз на основі формули (8) є проблематичним, через наявність в ній операції заокруглення, яку складно формалізувати. Коли ж врахувати, що на кожній частоті вибірки, якими відтворюється синтезований сигнал, мають різні значення, то похибки квантування в діапазоні частот матимуть квазівипадковий характер. Тому на практиці для аналізу впливу похибок квантування використовують квазістатистичний підхід, а для їх числовової оцінки використовуються статистичні параметри, як-от дисперсія, середньоквадратичне відхилення та похідні від них величини.

Похибки квантування в часовій і частотній області наведено на рис. 3. Як видно з наведених графіків, гармонічні складові, зумовлені дискретизацією, мають порівняно невисоку інтенсивність і є більш-менш рівномірно розподіленими на всьому спектрі.

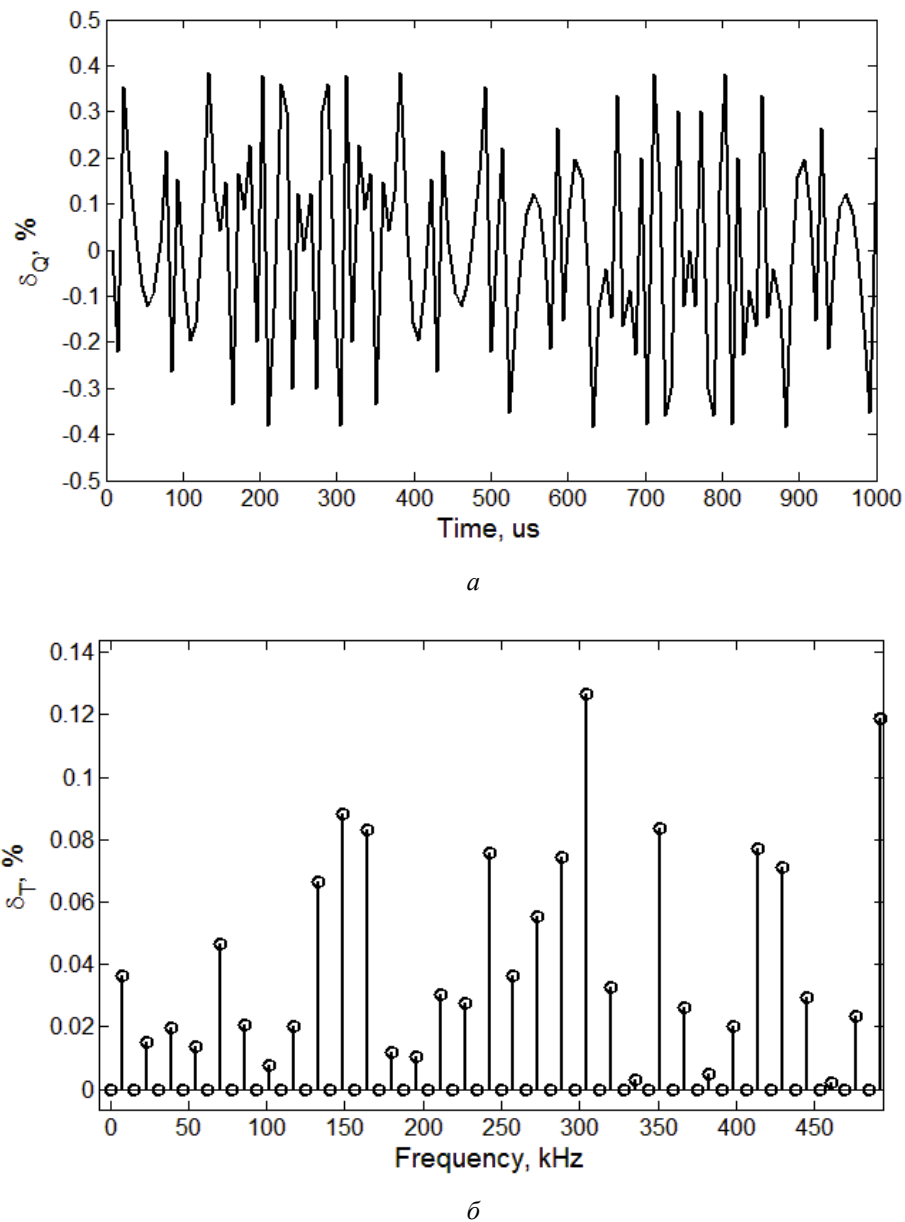


Рис. 3. Похибка квантування у часовій (а) та частотній областях (б)

Загалом поведінка похибки квантування як в часовій, так і в частотній областях нагадує білий шум, а саму похибку в фаховій літературі часто називають шумом квантування.

Для кількісного оцінювання впливу квантування на спектральну чистоту сигналу використовується відношення інтенсивності корисного сигналу (основної гармоніки) до інтенсивності

шуму квантування (англ. Signal to Quantization Noise Ratio – SQR). Ця величина по суті є оберненою до коефіцієнта гармонічних спотворень (англ. Total Harmonic Distortion – THD). Рівень THD залежить передовсім від кількості рівнів квантування (роздрібності сигналу за амплітудою) і визначається за формулою:

$$THD = -1,76 - 6,02 \cdot n \text{ (dBc)}, \quad (9)$$

де n – кількість бітів у двійковому форматі.

Якщо ж сигнал формується не в межах всієї шкали (динамічного діапазону), то формула набуде вигляду:

$$THD = -1,76 - 6,02 \cdot n - 20 \log\left(\frac{FFS}{100}\right) \text{ (dBc)}, \quad (10)$$

де FFS – частка шкали, виражена в процентах.

Якщо застосовується наддискретизація сигналу, тобто якщо смуга, в якій зосереджений корисний сигнал, менша від частоти Найквіста, то рівень шуму квантування буде ще нижчим і визначатиметься як

$$THD = -1,76 - 6,02 \cdot n - 20 \log\left(\frac{FFS}{100}\right) - 10 \log\left(\frac{f_0}{f_s}\right) \text{ (dBc)}, \quad (11)$$

де f_0 – частота синтезованого гармонічного сигналу (ширина смуги корисного сигналу); f_s – частота дискретизації відповідно.

Оскільки синтез сигналу відбувається у межах всієї шкали, то рівень похибок квантування залежатиме насамперед від розрядності апаратури і від кількості вибірок на період (відношення частоти основної гармоніки до частоти дискретизації). Як видно з наведеної формули, чим менша розрядність апаратури і кількість вибірок на період, тим сильнішим буде дестабілізуючий вплив паразитних гармонік від квантування.

Висновки

Застосування DDS-синтезатора у структурі частотних аналізаторів імпедансу пов'язане із вирішенням проблеми забезпечення “спектральної чистоти” синтезованих гармонічних сигналів. У статті оцінено рівень паразитних гармонік від інтерполяції, усікання коду акумулятора фази і квантування. Подано вирази для оцінювання частоти та рівня паразитних гармонік, зумовлених сходинчастою інтерполяцією гармонічного сигналу, а також встановлено залежності із параметрами DDS-синтезатора.

Також детально проаналізовано механізм виникнення паразитних гармонік від усікання коду фази. Одержано вирази для розрахунку номерів та рівнів паразитних гармонік. Крім того, оцінено рівень похибок від квантування вибірок синтезованих сигналів за критерієм коефіцієнта гармонічних спотворень.

На основі виконаних досліджень одержано вирази, що дають можливість не лише оцінювати рівень паразитних гармонік від інтерполяції, квантування та усікання коду фази, але і вибирати параметри DDS-синтезатора, які забезпечують формування гармонічних сигналів із прийнятним рівнем паразитних гармонік.

1. Макаренко В. Синтезаторы частоты прямого цифрового синтеза // Электронные компоненты и системы. – 2004. – № 1. – С. 3–7. 2. Ридико Л. DDS: прямой цифровой синтез частоты // Компоненты и технологии. – 2001. – № 7. – С. 50–54. http://www.compitech.ru/html.cgi/arhiv/01_07/stat_50.htm. 3. Eva Murphy, Colm Slattery Direct Digital Synthesis (DDS) Controls Waveform in Test, Measurement, and Communications. http://www.analog.com/library/analogDialogue/archives/39-08/dds_apps.pdf.
4. A Technical Tutorial on Digital Signal Synthesis. Analog Devices 1999 – http://www.analog.com/static/imported-files/tutorials/450968421DDS_Tutorial_rev12-2-99.pdf.
5. Low Power AD9833/9834 DDS Applicatons Guide. – Analog Devices, 2003.
6. AD 5934, 250 KSPS, 12 Bit Impedance Converter Network Analyzer. Preliminary Data Sheet – <http://www.analog.com/>

UploadedFiles/Data_Sheets/AD5934.pdf. 7. Стадник Б., Хома Ю., Дослідження ефективності віконного згладжування для покращення точності частотного аналізатора імпедансу // Вимірювальна техніка та метрологія. – 2012. – № 73. – С. 3–11. 8. Stadnyk B., Khoma Y., Improving the Accuracy of the Single Chip Impedance Analyzer for Sensor Applications // Sensors and Transducers, vol.150, N.3 March 2013. – Р. 27–31. 9. Хома Ю. Перспективи застосування прямого цифрового синтезу в частотних аналізаторах імпедансу // Вісник Нац. Ун-ту “Львівська політехніка“. – 2010. – № 665. – С. 27–33.

УДК 621.316.1; 644.61/62

В.О. Яцук, П.В. Бугайцова

Національний університет “Львівська політехніка”,
кафедра метрології, стандартизації та сертифікації

МОЖЛИВОСТІ ВРАХУВАННЯ ЯКІСНИХ ПОКАЗНИКІВ У СИСТЕМАХ СПОЖИВАННЯ ТЕПЛОВОЇ ЕНЕРГІЇ

© Яцук В.О., Бугайцова П.В., 2013

Проаналізовано стан теплоенергетичної галузі та системи споживання теплової енергії в Україні, досвіду провідних країн світу з реформування систем теплозабезпечення, упровадження сучасних технологій. Проаналізовано можливі шляхи проведення реформ у теплоенергетичній галузі України. Подано пропозиції щодо реалізації низки заходів, які підвищать рівень ефективності функціонування галузі.

Ключові слова: якість, облік, теплова енергія, енергозбереження.

The condition of heat energy industry and system of heat consumption in Ukraine, the experience of leading countries to reform the system of heat-supply, introduction of modern technologies. The possible ways of reforms in thermal power industry in Ukraine. Make suggestions for implementing a number of measures that would be able to improve the efficiency of the industry.

Key words: quality, accounting, thermal energy, energy.

Вступ

Теплова енергетика та сфера споживання теплової енергії в Україні сьогодні перебувають в кризовому стані, що негативно впливає на рівень енергетичної та національної безпеки країни. Головними факторами, які суттєво впливають на ситуацію, що склалася, є: незадовільний технічний стан об'єктів теплової енергетики, застарілий житловий фонд, що спричиняє надмірні витрати тепла під час виробництва, транспортування і споживання, та система ціноутворення, що не стимулює широкого упровадження заходів щодо підвищення енергоефективності. Відсутність інвестиційних коштів для модернізації основних фондів теплової енергетики та житлового фонду не дозволяє реалізувати сучасні технології в цій сфері. В результаті якість забезпечення населення тепловою енергією є низькою, спостерігаються постійні вимикання гарячого водопостачання, температура в приміщеннях іноді нижча від допустимих норм. Незважаючи на низку прийнятих рішень, розроблення та уドосконалення законодавства, ситуація у теплоенергетичній галузі не змінилась, навпаки, система занепадає, фінансовий стан підприємств теплоенергетики погіршується. Назріла нагальна необхідність проведення кардинальних змін у системі теплозабезпечення, що стосується як організації виробництва теплової енергії, так і сфери споживання [1–3].